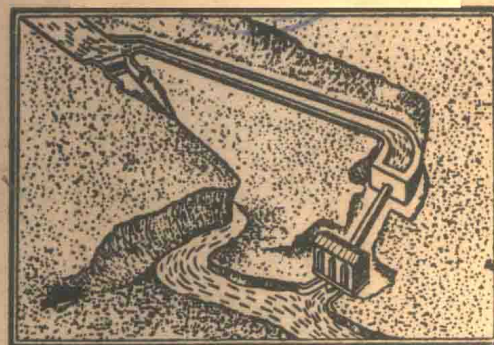


农村小型水电站讲义

上 卷

第二分册

水利部北京勘测设计院水电组编



水利电力出版社

农村小型水电站講义

上 卷

第二分册

水利部北京勘測設計院水电組編

水利电力出版社

内 容 提 要

本講義是为适应日益开展的农村水电建設而編制的。

本講義原拟分上、中、下三卷出版，現經研究后，認為改分上、下兩卷出版為宜，上卷为水工部分，下卷为电气部分和机械部分。

上卷共 13 章，分为兩個分冊出版，第一章至第五章为第一分冊，第六章至第十三章为第二分冊。

第二分冊的主要內容是：对压力水管的設計作了詳細的討論，并分別介绍了銅管、木管及鋼筋混凝土管的計算方法，討論了厂房的型式、布置及其基本構件的設計方法，此外，还闡述了农村水电站修建前的勘測和調查工作中的一些基本問題，并介紹了一些簡單可行的方法。

讀者对象为：各省所办农村水电站訓練班的学员，中等水利学校非水能利用專業畢業的学生或与此程度相当的人員。

农村小型水电站講義

上 卷 (第二分冊)

水利部北京勘測設計院水电組編

*

1089\$274

水利电力出版社出版(北京西郊科學路二里溝)

北京市書刊出版業營業許可證出字第105号

水利电力出版社印刷厂排印 新华书店發行

*

787×1092 $\frac{1}{25}$ 开本 * 9 $\frac{1}{2}$ 印張 * 185千字 * 定价(第9类) 1.00元

1958年7月北京第1版

1958年7月北京第1次印刷(0001—15,100册)

目 录

第六章 壓力水管總論	3
§38. 壓力水管的功用及其类型	3
§39. 壓力水管的数目及布置方式.....	4
§40. 壓力水管中的水头損失.....	8
§41. 壓力水管中的水錘現象及水錘壓力的計算方法.....	15
§42. 机組轉速的变化及飛輪力矩的計算.....	34
§43. 壓力水管直径的选择.....	45
第七章 壓力鋼管設計	47
§44. 壓力鋼管的构造.....	47
§45. 作用于露天鋼管上的力.....	52
§46. 管壁中的应力.....	59
§47. 水管穩定性的計算.....	63
§48. 鐵墩及中間支墩.....	64
§49. 对鋼管结构上的要求.....	70
§50. 計算举例.....	73
第八章 木質壓力水管設計	77
§51. 木質壓力水管的构造及材料.....	77
§52. 木管的强度計算.....	81
§53. 木管的支座.....	86
§54. 构造上的要求.....	88
§55. 木管的拼裝.....	89
第九章 鋼筋混凝土管設計	90
§56. 鋼筋混凝土管的构造.....	90
§57. 作用于水管上的力.....	94
§58. 管壁中的內力.....	101
§59. 管壁厚度及鋼筋數量的选择.....	108
第十章 水電站的厂房	109
§60. 水電站厂房的功用及其类型.....	109

§61. 厂房的布置	118
§62. 厂房结构的强度计算	145
§63. 厂房稳定性计算	179
第十一章 查勘的任务和目的	183
§64. 概說	183
§65. 选择水能开发方式及电站布置方案的几个原则	184
§66. 地形测量	187
§67. 水文气象调查及水文勘测	188
§68. 地質工作	192
§69. 灌溉用水及其他用水调查	199
§70. 用电量及动能经济调查	200
§71. 輸電線路查勘	202
§72. 旧有水工建筑物調查	204
§73. 工程材料、劳动力及交通运输的調查	205
第十二章 查勘前的准备工作	205
§74. 概說	205
§75. 資料的搜集及研究，查勘提綱的拟定	206
第十三章 勘测的具体方法	208
§76. 概說	208
§77. 地形及断面测量工作	208
§78. 水文勘测	214
§79. 地質勘測	221

第六章 壓力水管總論

§38. 壓力水管的功用及其類型

在農村水電站里，當水頭超過 6 公尺時，就常常有必要採用壓力水管。壓力水管也叫水輪機輸水管，用以將水自水庫、壓力前池或調壓塔引至厂房內的水輪機，並將流量在機組間進行分配。由於壓力水管系設於坡度較大的斜坡上，故其所承受的水頭（尤其是它的下端）是很大的，尤其是在水電站負荷突然減少之際，因發生所謂正水錘而引起的壓力升高常常是很可觀的。因此，在設計和敷設壓力水管時必須特別小心，如果管壁破裂就會帶來嚴重的後果：水電站厂房及其中所安設的設備都有可能被急湧的水流沖毀，運轉人員亦有生命危險。法國就有過這種不幸的例子。

壓力水管按材料來分有鋼管、木管、鋼筋混凝土管三種主要型式，在農村小型水電站里還有採用鑄鐵管者。鋼管系用鋼板焊接或鉚接而成，由於其具有很高的強度，故可適用於任何水頭之下。除此以外，鋼管還有經久耐用、不易漏水等優點。木管系用木板拼合而成，外邊用圓鋼作成的管箍拉緊，這就好像製造木水桶一樣。木管的這種構造，限制了它所適用的水頭範圍，而且直徑愈大，適用的水頭愈低。根據各國的經驗，當直徑為 0.5 公尺時，適於採用木管的極限水頭約 200 公尺；當直徑為 1 公尺時，此極限水頭就降低到了 140 公尺；而當直徑為 2 公尺時，木管就只能適用於 80 公尺以下的水頭了。木管的主要優點是造價比鋼管要便宜很多，構造簡單，拼裝時不需要複雜的設備，運輸木板及管箍都比較方便，這些對於盛產木材而交通不便的山區尤其顯得突出。木管管壁的傳熱性很低，故比鋼管不易凍結；同時木料的彈性模量及溫度膨脹係數都很小，所以也就沒有必要在木管上設置伸縮接頭。除此以外，木管還有一個優點，就是它的糙率較低，因而摩擦損失就比其他種水管要小。木管的缺點是使用年限較鋼管為短（如木料質量好而且養護得法，亦能使用 20 年以上），漏水的可能性

較大，維护費用較多。总的說來，在目前我国鋼板材料缺乏的条件下，当进行压力水管型式的选择时，木管是值得优先考虑的。河北省房山县高庄水电站、福建省古田县曹洋溪水电站以及其他一些小型水电站都采用了木質压力水管。

鋼筋混凝土管适用于30公尺以下的水头，但在少数情况下也有用到50公尺水头者。上面所講的钢管和木管多系露天設置，而鋼筋混凝土管則多半埋設于地下或在其上填土，这是因为鋼筋混凝土管管壁很厚，具有很大的刚性，不必采取其它措施来加强就可承受一定的外部压力；而埋設于地下或在其上填土以后，就可防止結冰和減少溫度应力。鋼筋混凝土管的缺点是太重，消除軸向溫度应力的伸縮設備很复杂，水头較高时不透水性較差。由于压力水管通常系設置于陡坡上，故水管很大的重量和很大的軸向溫度力都要求加重鎮墩(固定台)。鋼筋混凝土管可先在工厂制成长段然后运至現場敷設，或者直接在现场澆灌。福建省永春县古浪水电站的压力水管即为鋼筋混凝土管；广东省不久前也建造了几座采用鋼筋混凝土压力水管的水电站，其水头接近40公尺。

鑄鐵管系用工厂制就的現成管段在現場拼接而成。管段的尺寸工厂有一定的規格。鑄鐵管的优点是施工簡單。缺点是管壁厚，重量大，接头容易漏水，运输較不便利，伸縮設備也很复杂。福建省順昌水电站、貴州省修文水电站、四川省北碚水电站等都采用了鑄鐵管作为压力水管。

为了节约鋼材，有的地方对小型水电站还拟采用竹筋混凝土管和竹制压力水管，但現在还缺乏这种水管的使用經驗。福建省閩清县金沙水电站用废汽油桶焊接而成压力水管，可作为一个利用废物的例子。

§39. 壓力水管的数目及布置方式

壓力水管的数目与水电站的引用流量及机組数目有关，同时也是一个經濟比較問題。在实际工程中，水輪机的供水可以有下列三种方式：

- 1) 每一台水輪机有自己单独的压力水管(图6-13)；

④所有的水輪机用一根总的压力水管供水，至厂房前再分岔（图6-16）；

3) 每两台水輪机共一压力水管(图6-18)。

在后两种情况下，水管的末端需要設一成型部件(即分叉管)，以便将水分配至每一台水輪机。

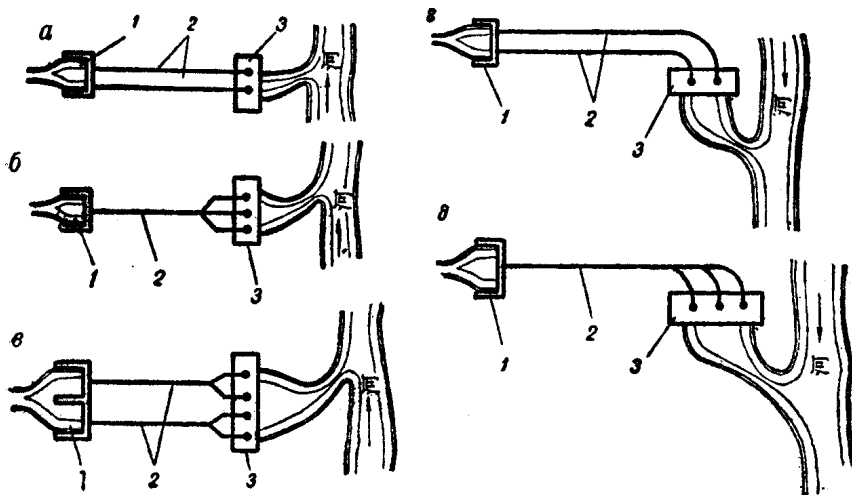


图 6-1 压力水管的布置方式
1—压力前池；2—压力水管；3—厂房。

第一种供水方式叫单独供水；第二种供水方式叫联合供水，第三种供水方式叫分組供水。在农村小型水电站里，机组数目一般都不超过两台，分組供水的方式很少采用。

单独供水的方式，不但构造简单，而且运用方便。当一根水管因损坏而需修理时，不至使整个水电站都停止工作；不需要复杂的成型部件，设计及施工工作都比较简单；水管的直径比较小，因为通过它的流量只是一台水轮机的引用流量。

分組供水和联合供水在运转上的可靠性都比较低。当一根水管损坏时，在分組供水的情况下，需要有两个机组停止运转，而在联合供水的情况下，水电站的所有机组都要停止运转。这在没有水库调节的条件下，还会造成很大的电能损失。为了使每一水轮机能单独停机

修起見，在水輪机之前、分叉管以后必須設置閥門，而閥門的价格一般是比较昂贵的。然而，当水电站机组数目在两台以上时，单独供水並不經常是經濟的；水管数目多了以后，鎮墩、支墩变得复杂了，水管沿綫的开挖清理工作加多了，在明流引水的情况下，压力前池的构造也因水管数目多而变得复杂了，制造几根小直徑水管所需的勞动量也可能比一根大直徑水管要多一些。由此看来，单独供水以用于只有两个机组的水电站較为合适。在有三个或四个机组的水电站里，只有当压力水管很短时才建議采用单独供水，在其他情况下都可考慮分組供水或联合供水。以上只是一般性的評論，最后选择供水方式时，应以技术經濟比較为依据，对各方案的年运转費、电能损失及运转中的可靠性加以全面的論証。但必須注意，水輪机的供水方式不同，不但水管本身的造价不同，而且与水管有关的工程(如压力前池、沿綫开挖方、支墩等)及水管附件的造价也将不同。

压力水管通向厂房的方向可以与厂房縱向牆壁垂直（即与机组中心联綫垂直），可以与厂房縱向牆壁平行，也可以斜交成某一角度，根据厂址附近的地形条件而定。第一种方式叫正向引近；第二种方式叫縱向引近；第三种方式叫斜向引近。

在縱向引近的情况下(图6-1 ι , θ)，水管进入厂房时需拐一个90°(或接近90°)的弯，因而就有必要在轉弯处加設鎮墩，同时也增加了水头损失。正向引近(图6-1 a , b , c)就沒有这些缺点，不但构造上简单，而且就水力学的观点而言也是最好的。水管不改变自己的方向直接通入厂房而与水輪机蝸壳相连。除此以外，采用正向引近的方式还能保証电站枢纽有較好的平面布置；当水电站有几个机组时，可使厂房的长度方向与山坡及河流平行，这对于在山坡与河流間的場地面积不够寬的情况尤其具有重要的意义。

然而，正向引近有一个很大的缺点，当水管破裂时，水流順山坡急泻而下，会使首当其冲的厂房遭到毁灭性的損害。为了避免这种灾害，有时把厂房移到河的对岸去(图6-2)，这样，从水管流出的水就可由河道排走而不至危及厂房的安全。但是这样做就須把水管引过河，增加了水管的长度，需要設置过河的桥架，还增加了水管中的水壓

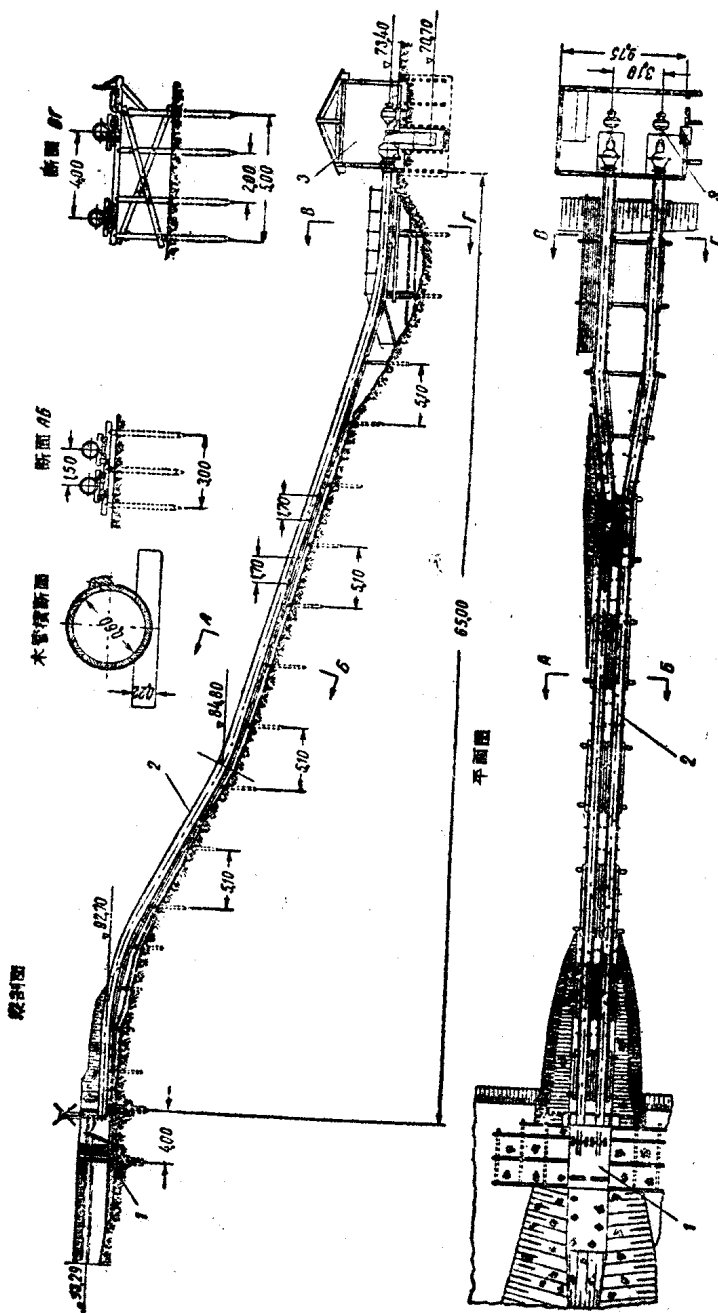


圖 6-2 木質壓力水管縱剖面及平面圖

力。

在縱向引近的情况下，防止厂房遭到水流的冲击要簡單多了；只需沿水管的延长方向开挖一条排水渠就能把水流引走。但是这时厂房的縱向系与山坡垂直，要求在山坡与河流之間有較寬的場地。

在高水头水电站里，当水管破裂时，水流系由很高的地方倾泻而下，保护厂房免遭水流冲毀的措施就显得特別必要了。所以，对于高水头水电站常采用縱向引近，而对于中水头水电站則采用正向引近。

斜向引近也需要在厂房前拐弯，具有和縱向引近同样的缺点。如果斜度不大，也可不經拐弯就通入厂房，但此时水管占据了厂房內較大的面积，对厂房內部的布置可能是不利的。

§40. 壓力水管中的水头損失

为了决定水电站的工作水头及了解压力水管中的电能損失，必須先知道压力水管中的水头損失。为了确定增加負荷时測压管高度綫的最低位置也必須求出水管內的水头損失。

当水沿水管流动时，有一部分水头(也就是能量)消耗在克服水流阻力之上；所消耗的这一部分水头就是上面所說的水头損失。水头損失有下面两种：

1) 分布于水管全长上的、因水与管壁摩擦而产生的水头損失，簡称为摩擦損失；

2) 发生于水管断面改变、方向变化(轉弯)及閥門、分叉等处的局部水头損失。这种水头損失是集中在造成阻抗的地方的，所以叫局部損失。水管中的总水头損失，等于上述兩項損失之和，即

$$h_{no\tau} = h_{rp} + h_s$$

式中 h_{rp} ——沿水管长度的摩擦損失；

h_s ——各种局部損失之和。

在水电站的压力水管中，水流形态不可能是层流，而是紊流，所以摩擦損失与管壁粗糙程度有关。我們知道，用不同材料制成的管壁是具有不同糙率的，因而对于木管、鋼管和鋼筋混凝土管应采用不同的公式来計算摩擦損失。

在木質壓力水管中摩擦損失按下式計算。

$$h_{tp} = 0.000885 \frac{v^{1.8}}{D^{1.17}} L \quad (6-1)$$

式中 D ——水管內徑，以公尺計；

v ——水管中的流速，以公尺/秒計；

L ——水管長度，以公尺計。

在鋼管中摩擦損失按下式計算：

$$h_{tp} = am \frac{v^{1.9}}{D^{1.1}} L \quad (6-2)$$

式中 D 、 v 、 L 的含義和上面一樣；

a ——考慮管壁接縫性質對水頭損失的影響的一個系數，它的數值可按表 5-1 決定；

m ——考慮水管使用年齡的一個系數（隨著使用年齡的增長，管壁粗糙度及水頭損失也將逐漸增加），它的數值與水的性質有關。

通常鋼管中的水頭損失系對運轉的第一年及第十五年進行計算。

對於運轉的第一年，系數 m 的數值如下：

當為純淨的清水時 $m = 1.01$ ；

當為對管壁有腐蝕性的水時 $m = 1.02$ 。

對於運轉的第十五年， m 的數值如下：

當為純淨的清水時 $m = 1.16$ ；

當為對管壁有腐蝕性的水時 $m = 1.25$ 。

表 6-1

水管構造性質	系數 a
有橫向及縱向鉚接縫的水管：	
1) 管壁厚 6 至 11 公厘的搭接管	0.00114
2) 管壁厚 > 12 公厘的搭接管及管壁厚為 6 至 11 公厘的帶蓋板的平頭接管	0.00124
3) 管壁厚 > 12 公厘的帶蓋板的平頭接管	0.00134
橫向接縫有伸入的鉚釘頭，而縱向接縫為光滑（例如焊接）的水管	0.000878
內壁表面光滑的水管（例如焊接管及無縫鋼管等）	0.000826

在混凝土管及钢筋混凝土管中，摩擦损失按下式计算：

$$h_{fr} = \alpha \frac{v^2}{D^{1.25}} L \quad (6-3)$$

式中 D 、 v 、 L 的含义和上面一样；

α ——考虑管壁特性的一个系数，其值按表 6-2 决定。

表 6-2

水管的性质	系数 α
1) 施工情况不太好的、由短的管段连接而成且其接缝未仔细弄光滑的水管	0.00153
2) 施工情况尚令人满意的、用水泥浆抹平的、由短的管段连接而成但接缝加以正确处理了的水管；用木模板浇制的整体水管	0.00114
3) 施工情况良好的、用较长的管段连接而成的、直径不小于 0.6 公尺的水管；中等尺寸的用金属模板浇制的、而且内壁涂了柏油或以纯水泥浆抹平了的整体水管	0.000917

在一般的施工情况下，使用刨光了的木模板而且施工质量很好的水管，最合适的是第二级粗糙，即 $\alpha=0.00114$ ；最高值 $\alpha=0.00153$ 可用于旧水管及施工情况不好的水管。

压力水管中的局部水头损失可用如下之一般公式来表示：

$$h_s = \frac{\zeta v^2}{2g} \quad (6-4)$$

式中 ζ ——水头损失系数，因阻抗的形式而定；

v ——水管中直接靠近阻抗处的流速，以公尺/秒计；

g ——重力加速度，采用 9.81 公尺/秒²。

在水电站的压力水管中，通常可遇到如下几种局部水头损失：

1) 由压力前池或调压塔流入水管的入口损失；

2) 水管转弯时的损失；

3) 水管分岔处的损失；

4) 渐缩圆锥管中的损失；

5) 阀门处的损失。

现分别列出各种水头损失系数于下。

入口损失，**入口水头损失**与入口的形状有关，其水头损失系数的数值可按表6-3采用：

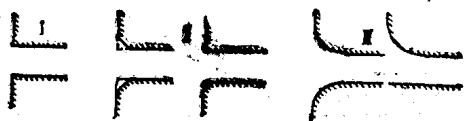


图 6-3 入口形状

表 6-3

进口编号	进 口 特 征	损失系数 ξ_{ex}
I	直角进口	0.50
II	将边缘尖角削去或将之修圆后的进口	0.25
III	喇叭形进口	0.10

应用表中系数时，流速 v 系进口渐变段内按长度的加权平均流速。

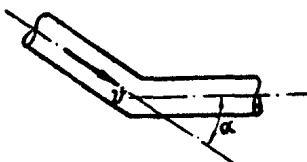


图 6-4a 急剧转弯

轉弯损失 轉弯损失又有两种情况，一种为急剧轉弯（弯曲半徑接近于0），一种为和緩轉弯。

在急剧轉弯的情况下，水头损失系数按表 6-4 采用。

表 6-4

轉弯角度 系 数 ζ	30°	40°	50°	60°	70°	80°	90°
	0.20	0.30	0.40	0.55	0.70	0.90	1.10

附注：表中数据只适用于轉弯前、后直径相等的水管。

在和緩轉弯的情况下，水头损失系数按下式計算：

$$\zeta = \left[0.131 + 0.163 \left(\frac{d}{R} \right)^{3.5} \right] \frac{\alpha}{90^\circ} = \zeta' \frac{\alpha}{90^\circ} \quad (6-5)$$

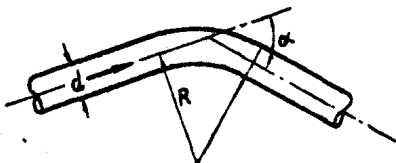


图 6-4b 和缓转弯

式中 ζ' 为 $\alpha = 90^\circ$ 时的水头损失系数，其值可按表 6-5 采用。

分叉损失 分叉损失有Y形分叉（图6-5a）及旁支分叉（图6-5b）两种。

表 6-5

$\frac{d}{2R}$	0.1	0.2	0.3	0.4	0.5	0.6	0.7	0.8	0.9	1.0
ζ'	0.13	0.14	0.16	0.21	0.29	0.44	0.66	0.98	1.41	1.98

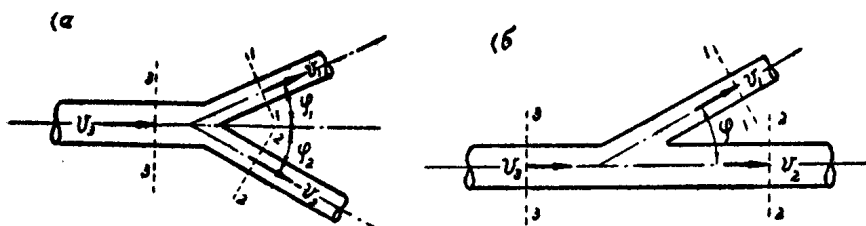


图 6-5 分叉管的形式

Y形分叉的水头损失系数按下式計算：

$$\zeta_{s-1} = \tau \left[1 - 2 \frac{v_1}{v_s} \cos\varphi_1 + \left(\frac{v_1}{v_s} \right)^2 \right], \quad (6-6)$$

$$\Delta h_{s-1} = \zeta_{s-1} \frac{v_1^2}{2g};$$

$$\zeta_{s-2} = \tau \left[1 - 2 \frac{v_2}{v_s} \cos\varphi_2 + \left(\frac{v_2}{v_s} \right)^2 \right], \quad (6-7)$$

$$\Delta h_{s-2} = \zeta_{s-2} \frac{v_2^2}{2g};$$

式中 τ 为修正系数，在大多数情况下它的数值都小于1，但在缺乏試驗資料时，可近似地采用为1。

旁支管相当于 φ_2 （或 φ_1 ）等于零的情况，其水头损失按下式計算：

$$\zeta_{s-1} = \tau \left[1 - 2 \frac{v_1}{v_s} \cos\varphi + \left(\frac{v_1}{v_s} \right)^2 \right], \quad (6-8)$$

$$\Delta h_{s-1} = \zeta_{s-1} \frac{v_1^2}{2g};$$

$$\zeta_{s-2} = \tau \left[1 - \frac{v_2}{v_s} \right]^2, \quad (6-9)$$

$$\Delta h_{s-2} = \zeta_{s-2} \frac{v_2^2}{2g}.$$

为了方便起見，我們以 ζ 为縱坐标， $\frac{v}{v_s}$ 为横坐标，对于不同的 φ 角繪制了分叉管水头损失系数曲綫（图6-7）。

漸縮管水头损失 当圓錐角 $\theta \leq 5^\circ$ 时，水头损失很小，可采用 $\zeta = 0.06 \sim 0.005$ ，視 θ 大小而定。当圓錐角較大时，水头损失系数 ζ 可按表6-6采用。

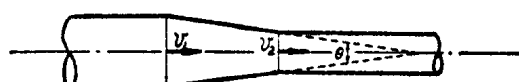


图 6-6 漸縮管

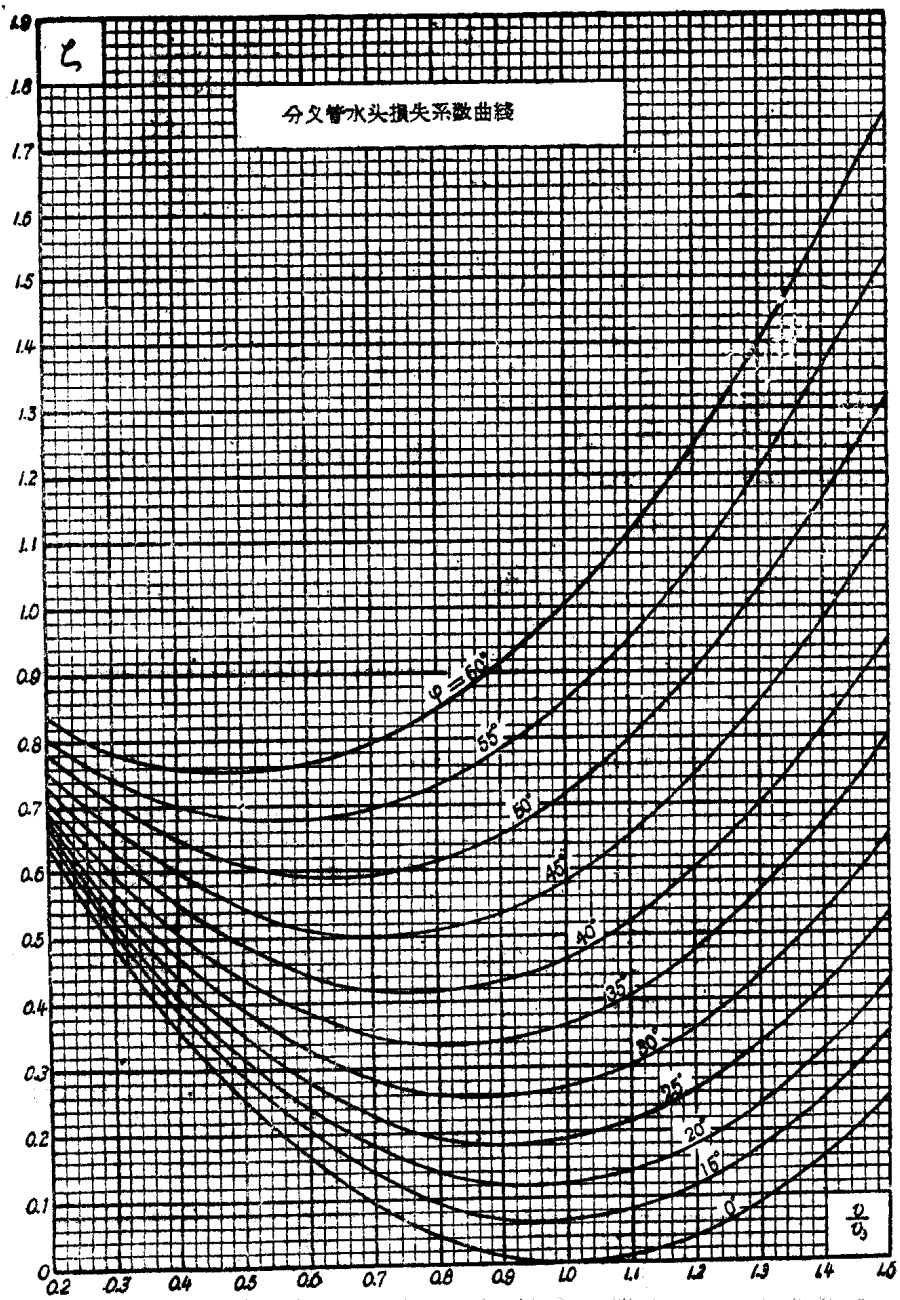


图 6-7 分叉管水头损失系数曲线

表 6-6

θ°	15	20	25	30	45	60	75
ζ	0.18	0.20	0.22	0.24	0.30	0.32	0.34

以上水头损失系数均系对流速 v_2 而言，即 $\Delta h = \zeta \frac{v_2^2}{2g}$ ，而 v_2 則為斷面縮小以後的流速。

閥門損失 在農村小型水電站的壓力水管中，最常採用的是滑動閥，蝴蝶閥則較少採用。現將水流通過這兩種閥門時的水頭損失系數列出來。

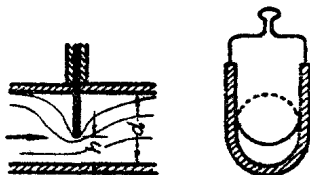


图 6-8 滑动閥

在滑動閥的情況下，水頭損失系數 ζ 與閥門的開啟程度，即 $\frac{d-h}{d}$ (圖 6-8)

有關。 ζ 之值可根據 $\frac{d-h}{d}$ 或 $\frac{\omega_0}{\omega}$ 由表 6-7 查出，此處 ω_0 為開啟面積。

表 6-7

$\frac{d-h}{d}$	0	$\frac{1}{8}$	$\frac{2}{8}$	$\frac{3}{8}$	$\frac{4}{8}$	$\frac{5}{8}$	$\frac{6}{8}$	$\frac{7}{8}$
$\frac{\omega_0}{\omega}$	1.000	0.948	0.856	0.740	0.609	0.466	0.315	0.159
ζ	0.00	0.07	0.26	0.81	2.06	5.52	17.00	97.80

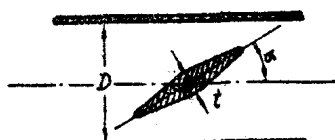


图 6-9 蝴蝶閥

在蝴蝶閥的情況下，水頭損失系數 ζ 與 α 角(圖 6-9)有關。當蝴蝶閥全開時，即當 $\alpha=0$ 時，水頭損失按下式計算：

$$\zeta = \frac{t}{D}, \quad \Delta h = \zeta \frac{v^2}{2g};$$

式中 t 為蝴蝶閥最大厚度， D 為水管直徑。如無廠家資料， $\frac{t}{D}$ 值可按表 6-8 采用。

表 6-8

水頭(公尺)	25	50	100	150	200	250
t/D	0.1	0.13	0.18	0.22	0.26	0.29